# О СПЕКТРАЛЬНОЙ ФУНКЦИИ НОСИТЕЛЕЙ В ПСЕВДОЩЕЛЕВОМ СОСТОЯНИИ

 $A.\ M.\ Белемук,\ A.\ \Phi.\ Барабанов^*$ 

Институт физики высоких давлений Российской академии наук 142190, Троицк, Москва, Россия

Поступила в редакцию 17 декабря 2015 г.

Рассматривается эволюция спектральной функции носителей для двумерной решетки Кондо в зависимости от параметров модели. Получено самосогласованное решение для спектральной функции в рамках формализма неприводимых функций Грина. В режиме малого допирования в поведении спектральной функции наблюдается подавление спектрального веса носителей в низкочастотной области, характерное для псевдощелевого состояния.

**DOI:** 10.7868/S0044451016090121

## 1. ВВЕДЕНИЕ

Одним из основных вопросов теории высокотемпературных сверхпроводников (ВТСП) остается проблема описания перехода из диэлектрического антиферромагнитного (АФМ) состояния в сверхпроводящее состояние при допировании [1, 2]. Эксперименты по фотоэмиссии с угловым разрешением (ARPES) демонстрируют необычно широкий пик спектра фотоэмиссии в недопированном диэлектрическом состоянии около  $\mathbf{k} = (\pi/2, \pi/2)$ , из которого развиваются хорошо определенные квазичастичные возбуждения при переходе в режим оптимального допирования [3,4]. С уменьшением корреляционной длины спектральный вес квазичастичных возбуждений перемещается из высокоэнергетической некогерентной части спектральной функции в низкоэнергетический когерентный (квазичастичный) пик.

Также спектры фотоэмиссии демонстрирует необычный характер квазичастичной зоны [5]. В нормальном состоянии в режиме малого и промежуточного допирования в спектре квазичастичных возбуждений имеется псевдощель, которая проявляет себя в уменьшении спектральной плотности носителей  $A(\mathbf{k},\omega)$  при частотах, отвечающих химическому потенциалу  $\mu$ . Это приводит к подавлению плотности электронных состояний на уровне Ферми  $E_F$ . В псевдощелевом режиме плотность состояний

максимальна для состояний с ферми-импульсами близкими к нодальному направлению  $(0,0)-(\pi,\pi)$  зоны Бриллюэна (ЗБ) и сильно уменьшается вблизи антинодальной области  $(\pi,0)$ , где ширина псевдощели принимает наибольшее значение [6–9]. При этом возникает арочная (ark-type) ферми-поверхность  $(\Phi\Pi)$  [5, 10, 11]. Для купратов с дырочным допированием псевдощель открывается при некоторой температуре  $T^*$  (температура кроссовера), которая монотонно возрастает с уменьшением допирования [12].

Механизм формирования псевдощели исследовался с помощью квантового метода Монте-Карло [13], а также в рамках различных вариантов модели Хаббарда и tJ-модели, см., например, [14–21]. При этом остаются сложности при попытках единого описания пределов малого и оптимального допирования. Используются феноменологические формы спиновой восприимчивости, которые рассматриваются как входной параметр теории.

В настоящей работе механизм формирования псевдощели рассматривается в рамках гамильтониана регулярной решетки Кондо. В отличие от модели Хаббарда носители и спиновая подсистема разделены в нулевом приближении по их обменному взаимодействию  $\hat{H}_J$ . Такая модель наиболее близка к спин-фермионному прототипу модели Эмери [22,23]. Ранее эта модель исследовалась нами в рамках проекционного метода для спинового полярона [24], который позволяет сразу учесть существенную часть  $\hat{H}_J$  взаимодействия. Также рассматривалось рассеяния полярона в приближении, в котором не

<sup>\*</sup> E-mail: abarab@bk.ru

учитывались вклады от рассеяния на двух спиновых волнах и не проводилась процедура самосогласования при отыскании спектральной функции  $A(\mathbf{k},\omega)$  [25,26]. В настоящей работе мы учитываем эти вклады и проводим процедуру самосогласования при решении интегрального уравнения для спектральной функции на основе метода неприводимых функций Грина ( $\Phi\Gamma$ ). Оказывается, что процедура самосогласования существенно меняет  $A(\mathbf{k},\omega)$  в области частот близких к уровню  $\Phi$ ерми ( $\omega=0$ ). Это, в свою очередь, приводит к  $\Phi$ 0

Остановимся на вопросе о возможности рассмотрения волн зарядовой плотности (ВЗП) в рамках настоящего подхода. Проблема описания ВЗП в последнее время часто поднимается при обсуждении псевдощели (см., например, [27, 28] и ссылки в этих работах). В настоящее время считается, что если отвлечься от беспорядка в CuO<sub>2</sub>-плоскости, вносимого случайным расположением Sr/Ba-доноров, то к ВЗП могут приводить несоизмеримые спиновые корреляции в системе локализованных спинов [28]. К подобным корреляциям в рамках двумерной фрустрированной модели Гейзенберга S=1/2может приводить наличие АФМ-обмена с третьими ближайшими соседями  $J_3$  [29–31]. При этом структурный фактор имеет острый пик вблизи нескольких несоизмеримых «управляющих» точек  $\mathbf{q}_l$ , вблизи которых спектр спиновых возбуждений  $\omega_{\mathbf{q}}$  имеет минимум (отвлекаясь от точки  $\mathbf{q} = 0$ ). Более того, в рамках  $J_1$ - $J_2$ - $J_3$ -модели возможен аналог двухконденсатного состояния, когда локальные минимумы  $\omega_{\mathbf{q}}$  находятся одновременно в двух соизмеримых точках: А $\Phi$ М-точке  $(\pi,\pi)$  и страйп-точке  $(\pi,0)$  [31]. В настоящей работе мы не рассматриваем динамической спиновой восприимчивости  $\chi(\mathbf{q},\omega)$ , отвечающей  $J_1 \! - \! J_2 \! - \! J_3$ -модели, и ограничиваемся самосогласованным спектром вида  $\omega_{\mathbf{q}}^2 \approx (1 - \gamma_g(\mathbf{q}))(\Delta^2 + \lambda(\mathbf{q}))$ (см. ниже), который не содержит несоизмеримых «управляющих» точек.

### 2. МОДЕЛЬ

 $\Gamma$ амильтониан модели имеет вид  $\hat{H} = \hat{H}_t + \hat{H}_J + \hat{H}_I$ , где

$$\hat{H}_{t} = \sum_{\mathbf{R},\mathbf{r}} t_{\mathbf{r}} a_{\mathbf{R}+\mathbf{r}}^{\dagger} a_{\mathbf{R}},$$

$$\hat{H}_{J} = J \sum_{\mathbf{R}} a_{\mathbf{R}\gamma}^{\dagger} S_{\mathbf{R}}^{\alpha} \sigma_{\gamma\gamma'}^{\alpha} a_{\mathbf{R}\gamma'},$$

$$\hat{H}_{I} = \frac{1}{2} \sum_{\mathbf{R},\mathbf{R}'} I_{\mathbf{R}-\mathbf{R}'} \mathbf{S}_{\mathbf{R}} \mathbf{S}_{\mathbf{R}'},$$
(1)

Операторы  $a_{\mathbf{R}\gamma}^{\dagger}$  и  $a_{\mathbf{R}\gamma}$  — операторы рождения и уничтожения дырки со спином  $\gamma$  на узле  $\mathbf{R}$ ;  $\mathbf{S}_{\mathbf{R}}$  — операторы локализованных спинов S=1/2 на узле  $\mathbf{R}$ .

Слагаемое  $\hat{H}_t$  описывает перескоки ферминосителей (дырок) между первыми ( $\mathbf{r}=\mathbf{g}$ ), вторыми ( $\mathbf{r}=\mathbf{d}$ ) и третьими ( $\mathbf{r}=2\mathbf{g}$ ) ближайшими соседями с амплитудами  $t_g$ ,  $t_d$  и  $t_{2g}$ . Слагаемое  $\hat{H}_t$  формирует затравочную зону «голых» носителей в приближении сильной связи,

$$\hat{H}_t = \sum_{\mathbf{k}} \varepsilon_{\mathbf{k}} a_{\mathbf{k}\sigma} a_{\mathbf{k}\sigma},$$

$$\varepsilon_{\mathbf{k}} = 4(t_g \gamma_g(\mathbf{k}) + t_d \gamma_d(\mathbf{k}) + t_{2g} \gamma_{2g}(\mathbf{k})),$$

где введены гармоники квадратной симметрии

$$\gamma_g(\mathbf{k}) = \frac{1}{2}(\cos k_x + \cos k_y), \quad \gamma_d(\mathbf{k}) = \cos k_x \cos k_y,$$
$$\gamma_{2g}(\mathbf{k}) = \frac{1}{2}(\cos 2k_x + \cos 2k_y).$$

Слагаемое  $\hat{H}_J$  описывает АФМ-обмен носителей с локализованными спинами, J — параметр спиндырочного взаимодействия,  $\hat{\sigma}^{\alpha}$  — матрицы Паули (по дважды повторяющимся спиновым индексам подразумевается суммирование). В фурье-представлении

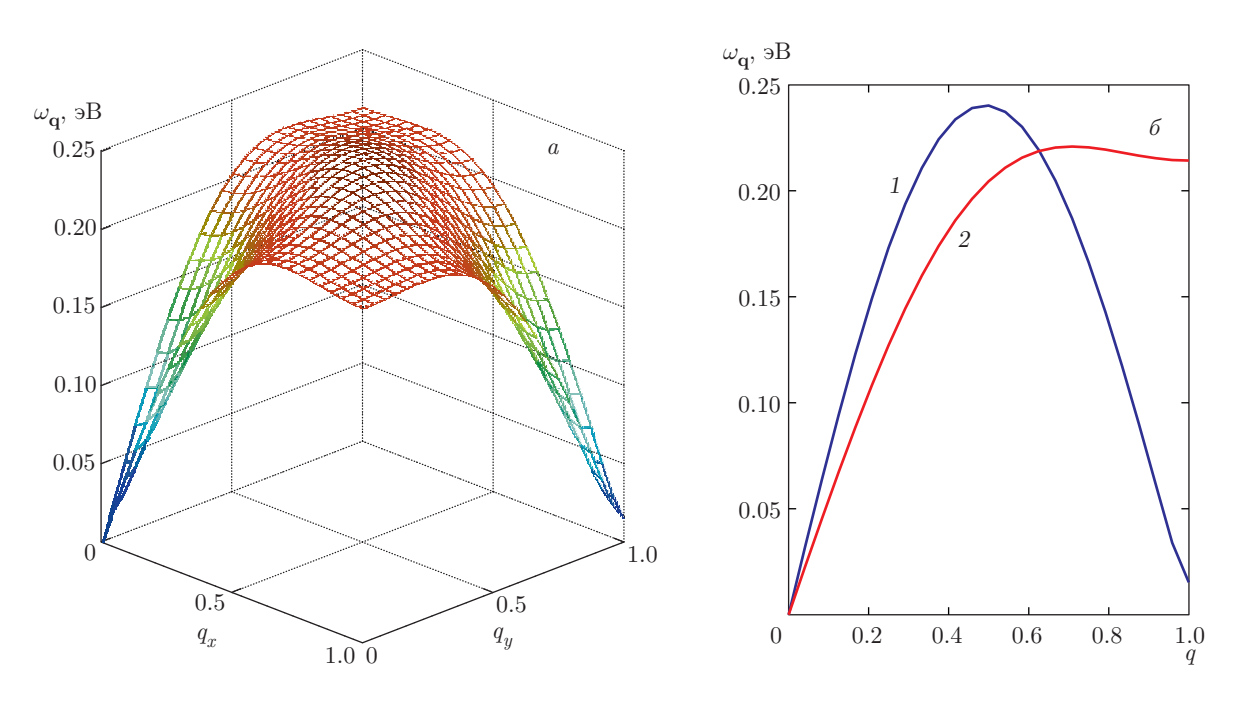
$$\hat{H}_J = \frac{1}{\sqrt{N}} J \sum_{\mathbf{k}, \mathbf{q}} a_{\mathbf{k} + \mathbf{q}, \sigma_1}^{\dagger} S_{\mathbf{q}}^{\alpha} \hat{\sigma}_{\sigma_1 \sigma_2}^{\alpha} a_{\mathbf{k} \sigma_2}$$

описывает рассеяние «голой» дырки из состояния  ${\bf k}$  в состояние  ${\bf k}+{\bf q}$  с одновременным возбуждением спиновой волны  $S^{\alpha}_{{\bf q}}$ .

Слагаемое  $\hat{H}_I$  отвечает антиферромагнитному обменному взаимодействию локализованных спинов. Обменный интеграл  $I_{\mathbf{R}-\mathbf{R}'}$  предполагается оличным от нуля для первых  $(I_1)$  и вторых  $(I_2)$  ближайших соседей. Обменные константы удобно выразить через параметр фрустрации  $0 \le p \le 1$ ,  $I_1 = (1-p)I$  и  $I_2 = pI$ . Параметр фрустрации можно рассматривать как аналог концентрации дырок x. Движение дырки вызывает разрушение магнитного порядка, что можно также связать с наличием фрустрации в спиновой подсистеме (см. ниже).

## 2.1. Спиновая подсистема

Теория динамической спиновой восприимчивости  $\chi(\mathbf{q},\omega)$  для гамильтониана Гейзенберга для спина S=1/2 разработана как для моделей, предполагающих существование двухподрешеточного состояния (неелевский антиферромагнетик) [32, 33], так



**Рис. 1.** a) Спектр спиновых возбуждений  $\omega_{\mathbf{q}}$  для T=0.1I, p=0.1 в первом квадранте зоны Бриллюэна;  $\delta$ ) спектр спиновых возбуждений вдоль направлений  $(0,0)-(\pi,\pi)$  (кривая 1) и  $(0,0)-(\pi,0)$  (кривая 2)

и для моделей, постулирующих состояние спиновой жидкости [34–36]. Ниже мы используем подход, основанный на самосогласованном сферическисимметричном приближении [37–39]. В этом приближении выражение для спиновой восприимчивости имеет вид

$$\chi(\mathbf{q},\omega) = -\langle\langle S_{\mathbf{q}}^{\alpha} | S_{-\mathbf{q}}^{\alpha} \rangle\rangle_{\omega + i\varepsilon} = \frac{-F_{\mathbf{q}}}{\omega^2 - \omega_{\mathbf{q}}^2 - R(\mathbf{q},\omega)}. \quad (2)$$

В сферически-симметричном приближении спиновая система находится в состоянии спиновой жидкости, среднее значение любой проекции спина на любом узле есть нуль,  $\langle S_{\mathbf{R}}^{\alpha} \rangle = 0$ . Возбуждения над основным состоянием, спиновые волны, описываются действием оператора

$$S_{\mathbf{q}}^{\alpha} = \frac{1}{\sqrt{N}} \sum_{\mathbf{R}} e^{-i\mathbf{q}\mathbf{R}} S_{\mathbf{R}}^{\alpha}$$

на основное состояние. Спектр состоит из трех вырожденных ветвей, отвечающих энергии возбуждения  $\omega_{\bf q}$ . Функция  $F_{\bf q}$  и спектр  $\omega_{\bf q}$  выражаются через спин-спиновые корреляционные функции

$$C_r = \langle S_{\mathbf{R}}^{\alpha} S_{\mathbf{R}+\mathbf{r}}^{\alpha} \rangle,$$

 ${f r}={f g},{f d},2{f g},{f d}+{f g}$  — векторы первых, вторых, третьих и четвертых ближайших соседей для узла  ${f R}.$  Комплексная аналитическая функция  $R({f q},\omega)$  пред-

ставляет собой трехузельную неприводимую запаздывающую  $\Phi\Gamma$ , описывающую распад спиновой волны на три спиновых возбуждения [39]. Действительная часть  $R(\mathbf{q},\omega)$  определяет перенормировку спинового спектра, мнимая часть описывает затухание спиновых волн из-за этого распада. В простейшем приближении, пренебрегая перенормировкой, получим выражение  $R(\mathbf{q},\omega)=-i\gamma\omega$ , где  $\gamma$  — параметр затухания [21, 40, 41].

Характерный вид спинового спектра  $\omega_{\bf q}$  для температуры T=0.1I (при значении обменного интеграла I=0.12 эВ это приближенно соответствует температуре T=140 K) и параметра фрустрации p=0.1 показан на рис. 1. Аналитически, форма спектра имеет следующий вид:

$$\omega_{\mathbf{q}}^2 \approx (1 - \gamma_g(\mathbf{q}))(\Delta^2 + \lambda(\mathbf{q})),$$

где  $\lambda(\mathbf{q})$  — некоторая функция, обращающаяся в нуль на АФМ-векторе,  $\lambda(\mathbf{Q})=0$ . Такая форма напоминает вид спектра для двухподрешоточного антиферромагнетика. Однако имеется существенное отличие, спектр содержит спиновую щель  $\Delta=\omega_{\mathbf{Q}}$  на АФМ-векторе  $\mathbf{Q}=(\pi,\pi)$ . Для выбранного значения параметров энергия возбуждений в точках  $\mathbf{Q}=(\pi,\pi)$  и  $\mathbf{X}=(\pi,0)$  равна  $\omega_{\mathbf{Q}}=180$  К и  $\omega_{\mathbf{X}}=2490$  К, спиновая корреляционная длина  $\xi\approx11$ .

Остановимся на взаимосвязи допирования и фрустрации. Эта взаимосвязь, впервые предложен-

ная в работе [42], основана на похожем поведении магнитной корреляционной длины в зависимости от x и p. А именно, как увеличение параметра допирования x, так и параметра фрустрации p, ведет к значительному уменьшению длины спиновых корреляций. Кластерные расчеты указывают на достаточно большое значение параметра фрустрации p > 0.05 даже для недопированного  $La_2CuO_4$  [43].

Отметим, что полной эквивалентности между допированием и фрустрацией нет. Например, допированная t–J-модель и фрустрированная  $J_1$ – $J_2$ -модель дают различные результаты для динамического спин-спинового структурного фактора для спектра рамановского рассеяния [44]. Тем не менее численные расчеты на конечной решетке указывают на эквивалентность указанных моделей, если мы интересуемся статическими спин-спиновыми корреляционными функциями [45]. Напомним, что в принятом нами подходе [40, 41] спектр  $\omega_{\mathbf{q}}$  выражается именно через вычисленные самосогласованным образом статические спин-спиновые корреляционные функции  $C_r = \langle S_{\mathbf{R}}^{\alpha} S_{\mathbf{R}+\mathbf{r}}^{\alpha} \rangle$ . Кроме того, принятая модель взаимосвязи допирования и фрустрации позволила недавно [46] в рамках спин-фермионной модели воспроизвести тонкие особенности эволюции ферми-поверхности  $La_{2-x}Sr_xCuO_4$  в нодальном направлении [47] при изменении уровня допирования x. Более подробно соответствие между допированием и фрустрацией обсуждается в работе [48].

#### 2.2. Спиновый полярон

При значениях параметра внутриузельного обмена  $J>t_{\mathbf{r}}$  гамильтониан  $\hat{H}_J$  отвечает сильному взаимодействию. Поэтому для описания зарядовых возбуждений помимо оператора рождения дырки  $a_{\mathbf{R},\sigma}^{\dagger}$  следует рассмотреть операторы, учитывающие связывание дырки со спином узла  $\mathbf{R}$ . Один из таких операторов естественно получается при коммутировании оператора  $a_{\mathbf{R},\sigma}^{\dagger}$  с гамильтонианом  $\hat{H}_J$  и имеет вид  $b_{\mathbf{R}\sigma}^{\dagger} = S_{\mathbf{R}}^{\alpha} \hat{\sigma}_{\sigma\sigma'}^{\alpha} a_{\mathbf{R}\sigma'}$ . Оператор  $b_{\mathbf{R}\sigma}^{\dagger}$  описывает рождение локального спинового полярона (на узле  $\mathbf{R}$ ). Комбинация  $\alpha_{\mathbf{R}\sigma}^{\dagger} = (a_{\mathbf{R}\sigma}^{\dagger}/2 - b_{\mathbf{R}\sigma}^{\dagger})/\sqrt{2}$  является аналогом синглетного состояния одноузельного кластера [49,50], которое отстоит по энергии от триплетного состояния на величину (-2J).

Очевидно, что следующим шагом в расширении базиса спин-дырочных возбуждений будут операторы, получающиеся при коммутировании  $b_{{f R}\sigma}^{\dagger}$  со слагаемыми  $H_t,\ H_J$  и  $H_I.$  При этом возникает набор базисных спин-дырочных состояний, «запутывающих» состояние дырки на узле  ${f R}$  и состояние спи-

нов на соседних узлах. Такие состояния можно интерпретировать как спиновые поляроны промежуточного радиуса. Рассматривая набор функций Грина для получившихся базисных возбуждений в фурье-представлении можно, используя проекционный метод Цванцига – Мори, определить спектр квазичастичных возбуждений [51–53]. При таком подходе ФГ дырки в импульсном представлении имеет следующий вид:

$$\langle \langle a_{\mathbf{k}} | a_{\mathbf{k}}^{\dagger} \rangle \rangle_{\omega + i\varepsilon} = \sum_{s} \frac{Z_{\mathbf{k}}^{(s)}}{\omega - E_{\mathbf{k}}^{(s)} + i\varepsilon},$$

$$a_{\mathbf{k}} = \frac{1}{\sqrt{N}} \sum_{\mathbf{R}} e^{-i\mathbf{k} \cdot \mathbf{R}} a_{\mathbf{R}}.$$
(3)

Функции  $E_{\mathbf{k}}^{(s)}$  определяют зоны спинового полярона, где s — номер зоны. Некогерентная часть дырочной спектральной функции представляется в виде суммы конечного набора  $\delta$ -функций:

$$A_h(\mathbf{k},\omega) = \sum_{s} Z_{\mathbf{k}}^{(s)} \delta(\omega - E_{\mathbf{k}}^{(s)})$$

с весовыми множителями  $Z_{\mathbf{k}}^{(s)}$ , учитывающими вклад s-й поляронной зоны в дырочную спектральную функцию. Функции вычетов  $Z_{\mathbf{k}}^{(s)}$  удовлетворяют правилу сумм  $\sum_s Z_{\mathbf{k}}^{(s)} = 1$  и определяют число голых дырок при заданном значении химического потенциала  $\mu$  и температуры:

$$n_h = \sum_{\mathbf{k}, \sigma} \langle n_{\mathbf{k}\sigma} \rangle = \sum_{\mathbf{k}, \sigma, s} \frac{Z_{\mathbf{k}}^{(s)}}{e^{(E_{\mathbf{k}}^{(s)} - \mu)/T} + 1}.$$
 (4)

При работе с неприводимой функцией Грина используем базис двух локальных спин-поляронных операторов:

$$\varphi_{\mathbf{R}\sigma}^{(1)} = a_{\mathbf{R}\sigma}, \quad \varphi_{\mathbf{R}\sigma}^{(2)} = \frac{1}{\sqrt{3/4}} b_{\mathbf{R}\sigma},$$

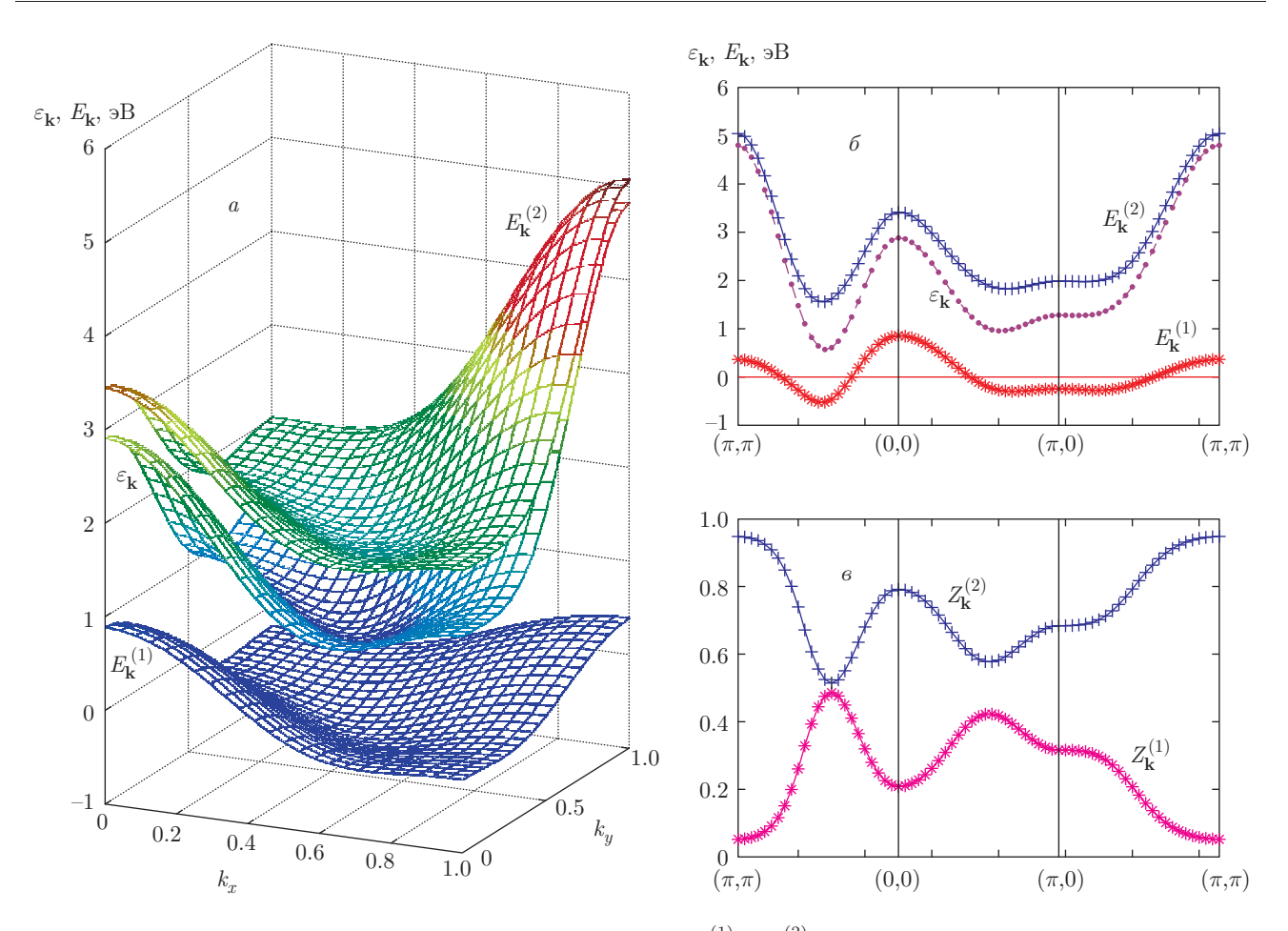
$$\langle \{\varphi_{\mathbf{R}\sigma}^{(i)}, \varphi_{\mathbf{R}\sigma}^{(j)+}\} \rangle = \delta_{ij}.$$
(5)

Рассмотрим предел малого малого допирования, при котором число дырок, приходящихся на один узел, очень мало:

$$\sum_{\sigma} \langle n_{\mathbf{R}\sigma} \rangle = n_h \lesssim 0.1.$$

Поэтому в уравнениях для  $\Phi\Gamma$  опустим члены, пропорциональные плотности числа частиц  $a_{{\bf R}\sigma}^{\dagger}a_{{\bf R}\sigma}$ . Можно видеть, что в рамках выбранного базиса взаимодействие  $\hat{H}_J$  учтено точно.

Вид спектра спинового полярона с двумя базисными моментами представлен на рис. 2. Нижняя



**Рис. 2.** Спектр голых дырок  $\varepsilon_{\mathbf{k}}$  и две зоны спинового полярона  $E_{\mathbf{k}}^{(1)}$  и  $E_{\mathbf{k}}^{(2)}$  в первом квадранте зоны Бриллюэна (a) и вдоль направлений зоны Бриллюэна (b); функции вычетов в нижней  $Z_{\mathbf{k}}^{(1)}$  и верхней  $Z_{\mathbf{k}}^{(2)}$  зонах спинового полярона вдоль направлений зоны Бриллюэна (a). Энергии отсчитываются относительно некоторого выбранного значения химического потенциала

 $E_{\mathbf{k}}^{(1)}$  и верхняя  $E_{\mathbf{k}}^{(2)}$  поляронные зоны являются аналогами двух хаббардовских подзон [15], однако, в отличие от последних, поляронные зоны уже учитывают часть взаимодействия  $\hat{H}_J$ . Уже в этом простейшем подходе возникает характерная перестройка спектральной плотности носителей [53]: происходит значительное сужение нижней поляронной зоны по сравнению с зоной голых дырок и значительное перераспределение веса носителей по зоне Бриллюэна, что и приводит к арочному типу  $\Phi\Pi$ .

## 2.3. Формализм неприводимых ФГ

Для выхода за рамки проекционного метода используем метод неприводимых функций Грина [54–56] (подробно демонстрация метода изложена, например, в работе [15] для модели Хаббарда и в работе [39] для модели Гейзенберга). В базисе двух

локальных спин-поляронных операторов (5) функцию Грина дырки  $\langle\langle a_{\bf k}|a_{\bf k}^\dagger\rangle\rangle_{\omega+i\varepsilon}$ , можно представить в виде

$$\langle \langle a_{\mathbf{k}} | a_{\mathbf{k}}^{\dagger} \rangle \rangle_{\omega + i\varepsilon} = \frac{\omega - H_{22} - \Sigma(\mathbf{k}, \omega)}{(\omega - H_{11})(\omega - H_{22} - \Sigma(\mathbf{k}, \omega)) - H_{12}H_{21}}.$$
 (6)

Здесь

$$H_{ij} = H_{ij}(\mathbf{k}) = \langle \{ [\varphi_{\mathbf{k}}^{(i)}, \hat{H}], \varphi_{\mathbf{k}}^{(j)\dagger} \} \rangle.$$

Явный вид матричных элементов следующий:

$$H_{11} = \varepsilon_{\mathbf{k}}, \quad H_{12} = J\sqrt{3/4}, \quad H_{21} = H_{12}, \quad (7)$$

$$H_{22} = \frac{16}{3} (C_g t_g \gamma_g + C_d t_d \gamma_d + C_{2g} t_{2g} \gamma_{2g}) - \frac{16}{3} (I_1 C_g + I_2 C_d) - J. \quad (8)$$

Собственно-энергетическая часть  $\Sigma(\mathbf{k},\omega)$  представляет собой неприводимую по операторам  $\varphi^{(1)}$  и  $\varphi^{(2)}$  функцию Грина вида

$$\Sigma(\mathbf{k},\omega) = \langle \langle [\varphi_{\mathbf{k}}^{(2)}, \hat{H}] | [\varphi_{\mathbf{k}}^{(2)}, \hat{H}]^{\dagger} \rangle \rangle_{\omega + i\varepsilon}^{irr}$$

Смысл неприводимости по  $\varphi^{(1)}$  и  $\varphi^{(2)}$  состоит в том, что если выражение в левой или правой обкладке  $\Phi\Gamma$  содержит часть, линейно выражающуюся через  $\varphi^{(1)}$  и  $\varphi^{(2)}$ , то такие слагаемые не дают вклада в  $\Sigma(\mathbf{k},\omega)$ . Например, если

$$[\varphi_{\mathbf{k}}^{(2)}, \hat{H}] = c_1 \varphi^{(1)} + c_2 \varphi^{(2)} + \hat{A},$$

ТО

$$\langle \langle [\varphi_{\bf k}^{(2)}, \hat{H}] | [\varphi_{\bf k}^{(2)}, \hat{H}]^\dagger \rangle \rangle_{\omega + i\varepsilon}^{irr} = \langle \langle \hat{A} | \hat{A}^\dagger \rangle \rangle_{\omega + i\varepsilon}^{irr}.$$

Далее, мы будем пользоваться этим свойством.

Остановимся подробнее на физическом смысле представления  $\Phi\Gamma$  в виде (6). Если положить  $\Sigma(\mathbf{k},\omega)=0$ , то  $\Phi\Gamma$  (6) совпадает с функцией  $\Gamma$ рина проекционного метода (3). Носителям  $\varphi_{\mathbf{k}}^{(1)}$  и  $\varphi_{\mathbf{k}}^{(2)}$  соответствуют зоны  $H_{11}(\mathbf{k})$  и  $H_{22}(\mathbf{k})$ . Недиагональные элементы  $H_{12}(\mathbf{k})$  описывают гибридизацию зон  $H_{11}(\mathbf{k})$  и  $H_{22}(\mathbf{k})$ .  $\Phi\Gamma$  (6) эффективно учитывает эту гибридизацию. Учет гибридизации ведет к расщеплению затравочной зоны голых дырок  $H_{11}(\mathbf{k})=\varepsilon_{\mathbf{k}}$  и зоны  $H_{22}(\mathbf{k})$ . Новые квазичастичные возбуждения, отвечающие нижней и верхней зонам спинового полярона,  $E_{\mathbf{k}}^{(1)}$  и  $E_{\mathbf{k}}^{(2)}$ , будут когерентной суперпозицией возбуждений  $\varphi_{\mathbf{k}}^{(1)}$  и  $\varphi_{\mathbf{k}}^{(2)}$ . Очевидно, что учет  $\Sigma(\mathbf{k},\omega)$  должен привести к дальнейшему расщеплению зон  $E_{\mathbf{k}}^{(1)}$  и  $E_{\mathbf{k}}^{(2)}$  при таких  $\mathbf{k}$ , при которых функция  $\Sigma(\mathbf{k},\omega)$  велика.

Неприводимая ФГ

$$\Sigma(\mathbf{k},\omega) = \langle \langle [\varphi_{\mathbf{k}}^{(2)}, \hat{H}] | [\varphi_{\mathbf{k}}^{(2)}, \hat{H}]^{\dagger} \rangle \rangle_{\omega + i\varepsilon}^{irr} = \Sigma^{(1)} + \Sigma^{(2)}$$

состоит из двух вкладов, проистекающих от коммутирования опрератора  $\varphi_{\mathbf{k}}^{(2)}$  с операторами  $\hat{H}_t$  и  $\hat{H}_I$ . Отметим, что при коммутировании с  $\hat{H}_J$  возникает оператор

$$d_{\mathbf{k}\gamma} = \frac{1}{N} \sum_{\mathbf{q}} S_{\mathbf{q}}^{\alpha} \sigma_{\gamma\gamma'}^{\alpha} b_{\mathbf{k}-\mathbf{q},\gamma'},$$

который можно представить в виде линейной суперпозиции

$$d_{\mathbf{k}\gamma} = \frac{3}{4}a_{\mathbf{k}\gamma} - b_{\mathbf{k}\gamma}.$$

Поэтому вклад от коммутирования с  $\hat{H}_J$  в  $\Sigma(\mathbf{k},\omega)$  точно равен нулю. Также в сферически-симметричном приближении для спиновой подсистемы [38] равен нулю вклад от перекрестных членов вида

$$\langle \langle [\varphi_{\mathbf{k}}^{(2)}, \hat{H}_t] | [\varphi_{\mathbf{k}}^{(2)}, \hat{H}_J]^{\dagger} \rangle \rangle_{\omega + i\varepsilon}^{irr}$$

Вклад  $\Sigma^{(1)}$  проистекает от коммутирования с  $\hat{H}_t$  и имеет вид

$$\Sigma^{(1)}(\mathbf{k},\omega) = \langle \langle [\varphi_{\mathbf{k}}^{(2)}, \hat{H}_t] | [\varphi_{\mathbf{k}}^{(2)}, \hat{H}_t]^{\dagger} \rangle \rangle_{\omega+i\varepsilon}^{irr} =$$

$$= \frac{1}{N} \sum_{\mathbf{q}} \frac{4}{3} (\varepsilon_{\mathbf{q}} - \mu)^2 \langle \langle S_{\mathbf{q}}^{\alpha} a_{\mathbf{k}-\mathbf{q},\gamma} | S_{-\mathbf{q}}^{\alpha} a_{\mathbf{k}-\mathbf{q},\gamma}^{\dagger} \rangle \rangle_{\omega+\varepsilon}^{irr}. \quad (9)$$

Возникшую новую сложную ФГ

$$G_{sh}(\mathbf{k},\omega) = \langle \langle S_{\mathbf{q}}^{\alpha} a_{\mathbf{k}-\mathbf{q},\gamma} | S_{-\mathbf{q}}^{\alpha} a_{\mathbf{k}-\mathbf{q},\gamma}^{\dagger} \rangle \rangle_{\omega+\varepsilon}^{irr}$$

трактуем в приближении связанных мод (mode coupling approximation). Для сложной корреляционной функции это приближение основано на факторизации следующего вида:

$$\langle S_{\mathbf{q}}^{\alpha}(t)a_{\mathbf{k}}(t)S_{-\mathbf{q}}^{\alpha}a_{\mathbf{k}}^{\dagger}\rangle \approx \langle S_{\mathbf{q}}^{\alpha}(t)S_{-\mathbf{q}}^{\alpha}\rangle\langle a_{\mathbf{k}}(t)a_{\mathbf{k}}^{\dagger}\rangle.$$
 (10)

В результате спектральную интенсивность функции Грина  $G_{sh}(\mathbf{k},\omega)$  можно выразить в виде свертки мнимой части спиновой и дырочной восприимчивостей с весовой функцией, представляющей собой произведение бозе- и ферми-распределений [54–56],

$$J_{sh}(\omega) = \frac{(2\hbar)^2}{2\pi} \int_{-\infty}^{\infty} d\omega' n_B(\omega') n_F(\omega - \omega') \times \chi_s''(\omega') \chi_s''(\omega - \omega'), \quad (11)$$

$$n_B(\omega) = \frac{1}{e^{\hbar\omega/T} - 1}, \quad n_F(\omega) = \frac{1}{e^{\hbar\omega/T} + 1}.$$
 (12)

Такая структура спектральной интенсивности эффективно учитывает неупругие процессы, связанные с рассеянием дырки на спиновых возбуждениях. Результат (11) еще можно упростить, если пренебречь затуханием спиновых возбуждений, т. е. пренебречь функцией  $R(\mathbf{q},\omega)$  в спиновой восприимчивости (2). Тогда выражение для спиновой восприимчиности принимает вид

$$\chi_s''(\mathbf{q},\omega) = \frac{\pi}{2} \frac{F_{\mathbf{q}}}{\hbar \omega_{\mathbf{q}}} \left[ \delta(\hbar \omega - \hbar \omega_{\mathbf{q}}) - \delta(\hbar \omega + \hbar \omega_{\mathbf{q}}) \right]. \quad (13)$$

Соответственно, спектральную интенсивность  $J_{sh}(\omega)$  можно представить в виде

$$J_{sh}(\omega) = \hbar \frac{F_{\mathbf{q}}}{\hbar \omega_{\mathbf{q}}} \Big[ n_B(\omega_{\mathbf{q}}) n_F(\omega - \omega_{\mathbf{q}}) \chi_h''(\omega - \omega_{\mathbf{q}}) + \\ + [1 + n_B(\omega_{\mathbf{q}})] n_F(\omega + \omega_{\mathbf{q}}) \chi_h''(\omega + \omega_{\mathbf{q}}) \Big]. \quad (14)$$

Используя уравнение (14) получаем следующий результат для  $\Sigma^{(1)}$ :

$$\Sigma^{(1)}(\mathbf{k},\omega) \approx \frac{1}{N} \sum_{\mathbf{q}} \int d\omega' A_h(\mathbf{q},\omega') \frac{4}{3} (\varepsilon_{\mathbf{q}} - \mu)^2 \times \frac{F_{\mathbf{q}}}{2\hbar\omega_{\mathbf{q}}} \left\{ \frac{g_{emm}(\mathbf{k} + \mathbf{q},\omega')}{\omega - \omega' - \omega_{\mathbf{k}+\mathbf{q}} + i\varepsilon} + \frac{g_{abs}(\mathbf{k} + \mathbf{q},\omega')}{\omega - \omega' + \omega_{\mathbf{k}+\mathbf{q}} + i\varepsilon} \right\}, \quad (15)$$

где введены обозначения

$$g_{emm}(\mathbf{q}, \omega') = 1 + n_B(\omega_{\mathbf{q}}) - n_F(\omega'),$$
  
 $g_{abs}(\mathbf{q}, \omega') = n_B(\omega_{\mathbf{q}}) + n_F(\omega').$ 

Вклад  $\Sigma^{(2)}$  проистекает от коммутирования с  $\hat{H}_I$  и имеет вид

$$\Sigma^{(2)}(\mathbf{k},\omega) = \langle \langle [\varphi_{\mathbf{k}}^{(2)}, \hat{H}_I] | [\varphi_{\mathbf{k}}^{(2)}, \hat{H}_I]^{\dagger} \rangle \rangle_{\omega + i\varepsilon}^{irr} =$$

$$= \frac{1}{N} \sum_{\mathbf{q}} \frac{8}{3} I^2(\mathbf{q}) \langle \langle S_{\mathbf{q}}^{\alpha} \varphi_{\mathbf{k} - \mathbf{q}, \gamma'}^{(2)} | S_{-\mathbf{q}}^{\alpha} \varphi_{\mathbf{k} - \mathbf{q}, \gamma'}^{(2)\dagger} \rangle \rangle_{\omega + \varepsilon}^{irr}. \quad (16)$$

Здесь  $I(\mathbf{q})$  есть фурье-образ обменного взаимодействия,

$$I(\mathbf{q}) = \sum_{\mathbf{R}} e^{i\mathbf{q}(\mathbf{R} - \mathbf{R}')} I(\mathbf{R} - \mathbf{R}') = 2I_1 \gamma_g(\mathbf{q}) + 2I_2 \gamma_d(\mathbf{q}).$$

В приближении связанных мод это слагаемое сводится к

$$\Sigma^{(2)}(\mathbf{k},\omega) \approx \frac{1}{N} \sum_{\mathbf{q}} \int d\omega' A_p(\mathbf{q},\omega') \frac{8}{3} I^2(\mathbf{k} + \mathbf{q}) \times \frac{F_{\mathbf{k}+\mathbf{q}}}{2\hbar\omega_{\mathbf{k}+\mathbf{q}}} \left\{ \frac{g_{emm}(\mathbf{k} + \mathbf{q},\omega')}{\omega - \omega' - \omega_{\mathbf{k}+\mathbf{q}} + i\varepsilon} + \frac{g_{abs}(\mathbf{k} + \mathbf{q},\omega')}{\omega - \omega' + \omega_{\mathbf{k}+\mathbf{q}} + i\varepsilon} \right\}. \quad (17)$$

Эффективно функции  $\Sigma^{(1)}$  и  $\Sigma^{(2)}$  описывают рассеяние локального полярона  $\varphi_{\mathbf{k}}^{(2)}$ , проистекающее соответственно из-за прыжков дырки (вклад пропорциональный  $\varepsilon_{\mathbf{k}-\mathbf{q}}^2$ ) и рассеяния на двух спиновых волнах (вклад пропорциональный  $\sim I^2(\mathbf{k}+\mathbf{q})$ ). Ранее при решении системы уравнений для спектральной функции мы учитывали только  $\Sigma^{(1)}(\mathbf{k},\omega)$  и ограничивались одной итерацией [25, 26].

В уравнения (15) и (17) вошли также спектральные функции дырки и локального полярона

$$A_{h}(\mathbf{k},\omega) = -\frac{1}{\pi} Im \langle \langle a_{\mathbf{k}} | a_{\mathbf{k}}^{\dagger} \rangle \rangle_{\omega + i\varepsilon},$$

$$A_{p}(\mathbf{k},\omega) = -\frac{1}{\pi} Im \langle \langle \varphi_{\mathbf{k}}^{(2)} | \varphi_{\mathbf{k}}^{(2)\dagger} \rangle \rangle_{\omega + i\varepsilon}.$$
(18)

Система уравнений (6), (15), (17) и (18) составляет полную замкнутую систему интегральных уравнений. Решение этой системы проводилось итерационным методом. В качестве начального приближения использовались спектральные функции, отвечающие проекционному методу (3). По формулам (15) и (17) находились соответствующие  $\Sigma^{(1)}$  и  $\Sigma^{(2)}$ . Результирующая  $\Sigma = \Sigma^{(1)} + \Sigma^{(2)}$  использовалась для определения дырочной и поляронной  $\Phi\Gamma$ :

$$\langle \langle a_{\mathbf{k}} | a_{\mathbf{k}}^{\dagger} \rangle \rangle_{\omega + i\varepsilon} = \frac{\omega - H_{22} - \Sigma(\mathbf{k}, \omega)}{(\omega - H_{11})(\omega - H_{22} - \Sigma(\mathbf{k}, \omega)) - H_{12}H_{21}}, \quad (19)$$

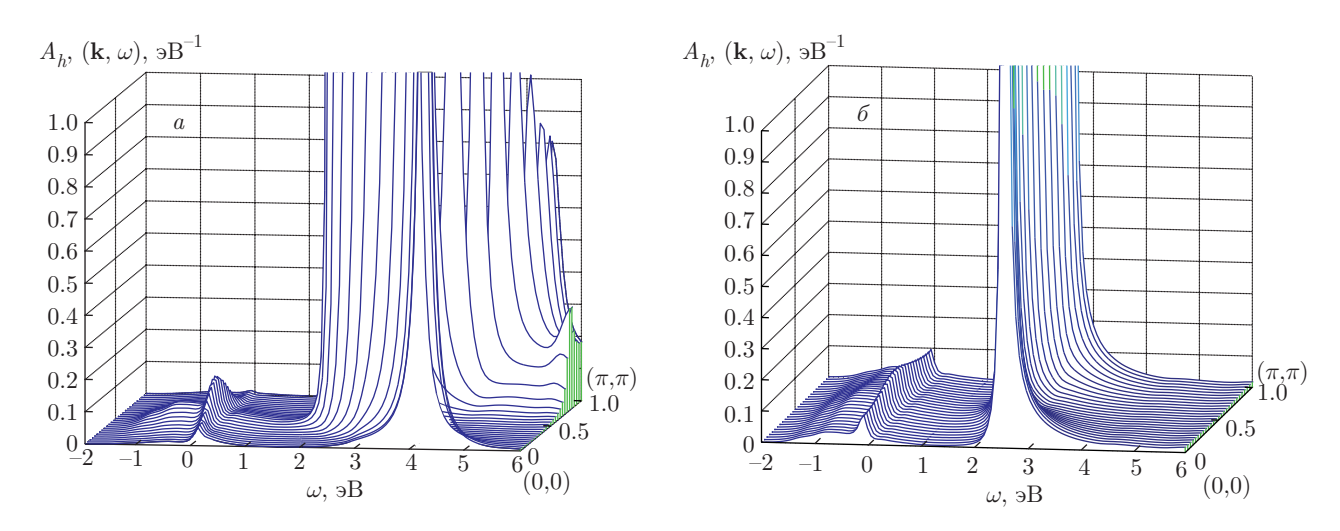
$$\langle \langle \varphi_{\mathbf{k}}^{(2)} | \varphi_{\mathbf{k}}^{(2)\dagger} \rangle \rangle_{\omega + i\varepsilon} = \frac{\omega - H_{11}}{(\omega - H_{11})(\omega - H_{22} - \Sigma(\mathbf{k}, \omega)) - H_{12}H_{21}}.$$
 (20)

Далее, находились новые спектральные интенсивности по формулам (18). В результате получались спектральные интенсивности первого приближения. Далее весь процесс повторялся снова. При этом для достижения удовлетворительной сходимости требуется несколько итераций.

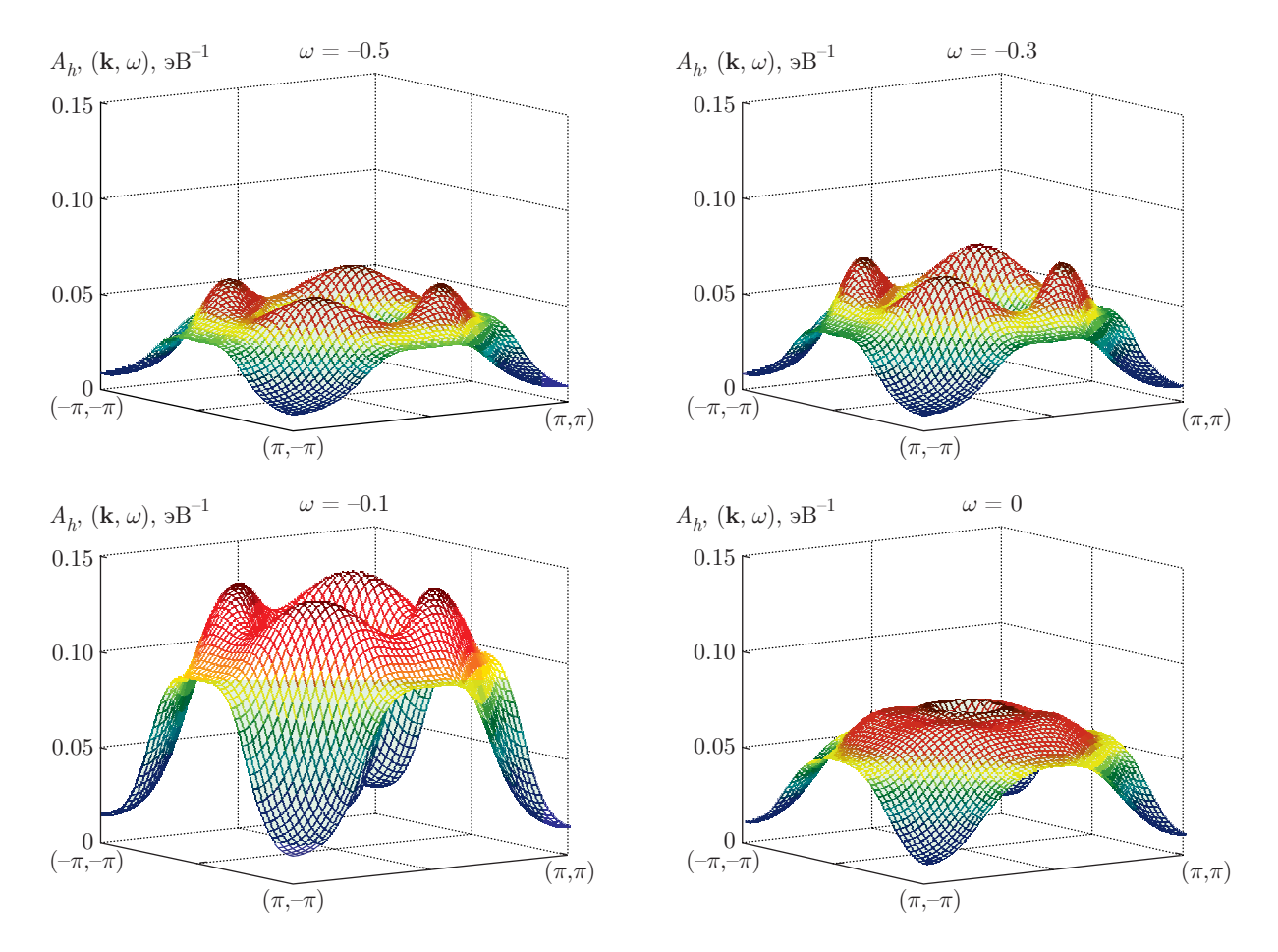
#### 3. РЕЗУЛЬТАТЫ И ОБСУЖДЕНИЕ

Ниже приняты следующие энергетические параметры модели в единицах  $\tau = 0.4$  эВ:  $t_q = -0.6$ ,  $t_d = 0.8, t_{2q} = 0.6, J = 3, I = 0.3$  и T = 0.1I. При выбранных значениях перескоковых параметров  $t_q, t_d$ и  $t_{2q}$  дно зоны голой дырки формируется вблизи точки  $0.45(\pi,\pi)$ , т. е. дно зоны сдвинуто к точке (0,0)относительно АФМ ЗБ. Выбранные параметры перескоков близки к значениям параметров, принятых в работе [51]. В рамках проекционного метода [24] такой выбор приводит к результатам, которые воспроизводят спектральную функцию модели Эмери, полученную в рамках самосогласованного борновского приближения (SCBA) [52]. Подробное обоснование выборов параметров модели объяснено нами ранее [26]. Для спиновой подсистемы используется значение параметра фрустрации p = 0.1 и реалистическое для купратов значение обменного интеграла  $I \approx 0.12$  эВ. При этом ширина щели в спиновом спектре  $\Delta \approx 0.12I$ , значения двухузельных корреляционных функций равны  $C_g = -0.306$ ,  $C_d = 0.158$ ,  $C_{2g} = 0.126, C_{g+d} = -0.107, C_{2d} = 0.078.$ 

Рассмотрим поведение спектральных свойств квазичастиц при малом допировании. На рис. 3



**Рис. 3.** Дырочная спектральная плотность  $A(\mathbf{k},\omega)$ , отвечающая заполнению  $n_h=0.1$ : a — вдоль направления  $(0,0)-(\pi,\pi)$  и b — вдоль направления  $(\pi,0)-(0,\pi)$ 



**Рис. 4.** Дырочная спектральная плотность  $A(\mathbf{k},\omega)$ , отвечающая заполнению  $n_h=0.1$ , в полной ЗБ при различных значениях частоты

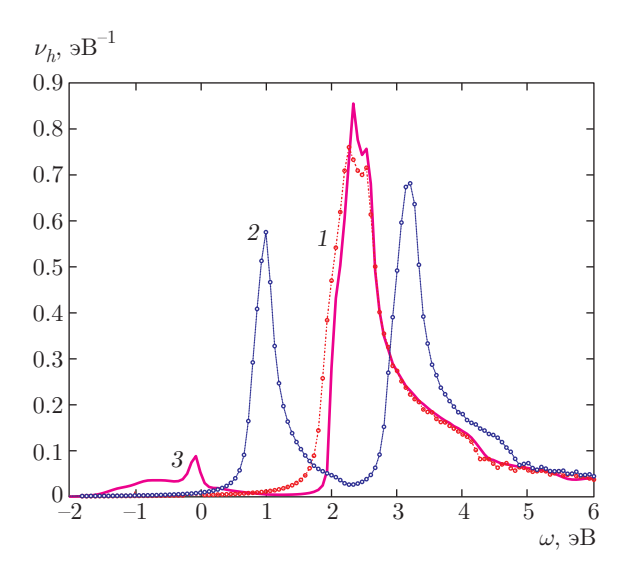
представлены результаты для спектральной функции дырки  $A(\mathbf{k},\omega)$  вдоль направлений по главной диагонали ЗБ  $(0,0)-(\pi,\pi)$  и побочной диагонали  $(\pi,0)-(0,\pi)$ . Значение химического потенциала отвечает заполнению  $n_h=0.1$ 

$$n_h \equiv \frac{1}{N} \sum_{\mathbf{k},\sigma} \langle n_{\mathbf{k}\sigma} \rangle.$$

В поведении  $A(\mathbf{k},\omega)$  ясно видны две зоны. Нижняя зона (расположенная в области  $\omega < 1$  эВ) отвечает низкоэнергетическим возбуждениям. Состояния с  $\omega < 0$  заполнены носителями (дырками). Верхняя зона (расположенная в области  $\omega > 2$  эВ) отвечает высокоэнергетическим возбуждениям и при рассматриваемом значении химического потенциала является пустой. Зоны разделены щелью шириной порядка  $2J\sim 2$  эВ. Наличие двух зон напоминает структуру квазичастичных возбуждений в проекционном методе, в котором локальный полярон представляет собой суперпозицию двух бзисных операторов  $a_{\mathbf{k}\sigma}$  и  $b_{\mathbf{k}\sigma}$ . Отметим, что верхняя зона содержит существенную плотность состояний. Поведение спектральной функции в нижней зоне немонотонное. Состояния, лежащие около центра ЗБ, имеют значительно больший вес, чем состояния лежащие вне этой области. Такое поведение характерно для псевдощелевого состояния.

На рис. 4 представлена  $A(\mathbf{k},\omega)$  в полной ЗБ для нескольких фиксированных значений частоты (включая поведение на ФП, отвечающее  $\omega=0$ ). Возбуждения сосредоточены около точек  $(\pm\pi/2,\pm\pi/2)$ , ясно виден максимум спектральной функции при  $\omega=-0.1$ . Такое поведение указывает на то, что имеется дырочный карман около  $(\pi/2,\pi/2)$ . Наличие дырочного кармана около  $(\pi/2,\pi/2)$  хорошо воспроизводит данные ARPES-измерений [6–9]. При этом на самой ФП  $(\omega=0)$   $A(\mathbf{k},\omega)$  размыта и не имеет четкого квазичастичного пика. Наблюдаемая картина поведения  $A(\mathbf{k},\omega)$  отвечает сценарию открытия псевдощели на ФП, при котором состояния на ФП имеют малый вес и не наблюдаются в ARPES.

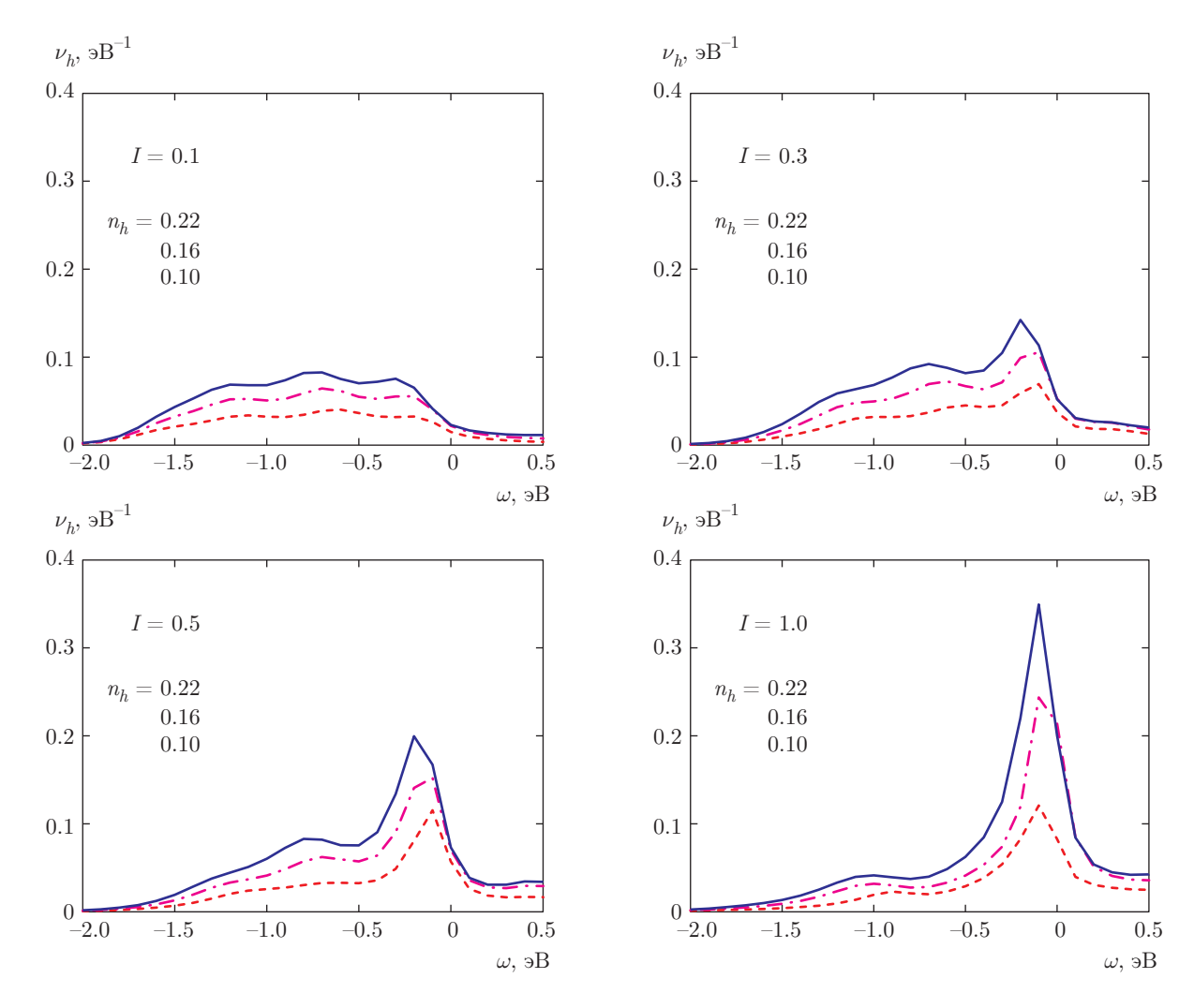
На рис. 5 показана плотность состояний  $\nu(\omega) = \sum_{\mathbf{k}} A(\mathbf{k}, \omega)$ . Для сравнения метода неприводимых  $\Phi\Gamma$  с нашими предыдущими расчетами, выполненными в рамках проекционного метода, мы приводим плотность дырочных состояний  $\nu_h(\omega)$  для затравочной зоны голых дырок (кривая 1), плотность состояний, полученную в рамках проекционного метода для двух моментов (кривая 2), и плотность состояний, полученную в результате процедуры самосогласования для неприводимых  $\Phi\Gamma$  (кривая 3). Значение химического потенциала выбиралось одним и



**Рис. 5.** Плотность состояний  $\nu(\omega)$ , отвечающая заполнению  $n_h=0.1$  (кривая 3). Для сравнения показаны плотности состояний для спектра голых дырок (кривая 1) и двух зон спинового полярона в проекционном методе (кривая 2)

тем же для всех трех кривых. Видно, что учет рассеяния (кривая 3) приводит к значительному подавлению низкоэнергетических состояний и их смещению в область низких частот. Значения  $\nu_h(\omega)$  в нижней зоне существенно ниже соответствующих значений в проекционном методе (кривая 2).

Представляется интересным также выйти за рамки значений параметров, характерных для ВТСП, и проследить за эволюцией спектральной функции при других значениях параметров кондо-модели. Во-первых, представляет интерес сравнить характер плотности состояний в нижней зоне при увеличении числа носителей. Отметим, что формально мы не учитывали членов пропорциональных числу частиц при построении функций  $H_{ij}(\mathbf{k})$ . Тем не менее интересен характер решения интегральных уравнений для спектральной функции без учета таких членов. На рис. 6 показана эволюция плотности состояний (в нижней зоне) при увеличении допирования для различных значений обменного интеграла между спинами. При увеличении допирования, как и следовало ожидать, имеется рост плотности состояний в нижней зоне. При этом распределение веса зависит от величины масштаба спиновых флуктуаций (зависящих от параметра I). При малом I = 0.1 плотность состояний приближенно распределена однородно в нижней зоне, в то время как при увеличении (I = 0.3,I = 0.5) начинается формирование пика плотности состояний. При I=1.0 происходит существенное



**Рис. 6.** Эволюция плотности дырочных состояний  $\nu_h(\omega)$  в зависимости от допирования (порядок, в котором укзазаны заполнения  $n_h$ , отвечает расположению кривых). Плотности  $\nu_h(\omega)$  вычислены при различных значениях обменного интеграла I

увеличение плотности состояний в узкой области энергий ниже уровня химического потенциала. Такое поведение связано с формированием седловой особенности в спектре квазичастиц.

В заключение сформулируем основные результаты нашей работы. При движении носителей при сильном спин-дырочном взаимодействии формируется квазичастичное состояние, представляющее собой связанное состояние дырки и спиновой волны. Спектральный вес такого квазичастичного состояния в режиме малого и промежуточного допирований мал. Спектральная функция характеризуется немонотонным поведением спектрального веса в ЗБ. Спектральный вес квазичастичных состояний подавлен на ФП, что характерно для псевдощелевого состояния.

Плотность состояний расщепляется на две подзоны, отвечающие низкоэнергетическим и высокоэнергетическим возбуждениям. Спектральный вес в нижней зоне очень мал по сравнению с весом в верхней зоне. При увеличении допирования происходит перераспределение спектрального веса из высокоэнергетической области в низкоэнергетическую.

Существенным также является последовательный учет рассеяния локального полярона. Учет рассеяния приводит с существенной перестройке спектральной функции по сравнению с таковой в проекционном методе. Однако проекционный метод правильно передает основные черты поведения  $A(\mathbf{k},\omega)$ .

Работа выполнена при финансовой поддержке РФФИ (грант № 16-02-00304).

## ЛИТЕРАТУРА

- P. A. Lee, N. Nagaosa, and X.-G. Wen, Rev. Mod. Phys. 78, 173 (2006).
- 2. M. Eschrig, Adv. Phys. 55, 47 (2006).
- K. M. Shen, F. Ronning, D. H. Lu, W. S. Lee, N. J. C. Ingle, W. Meevasana, F. Baumberger, A. Damascelli, N. P. Armitage, L. L. Miller, Y. Kohsaka, M. Azuma, M. Takano, H. Takagi, and Z.-X. Shen, Phys. Rev. Lett. 93, 267002 (2004).
- K. M. Shen, F. Ronning, D. H. Lu, F. Baumberger, N. J. C. Ingle, W. S. Lee, W. Meevasana, Y. Kohsaka, M. Azuma, M. Takano, H. Takagi, and Z.-X. Shen, Science 307, 901 (2005).
- A. Damascelli, Z. Hussain, and Z.-X. Shen, Rev. Mod. Phys. 75, 473 (2003).
- T. Hanaguri, Y. Kohsaka, J. C. Davis, C. Lupien,
   I. Yamada, M. Azuma, M. Takano, K. Ohishi,
   M. Ono, and H. Takagi, Nature Physics 3, 865 (2007).
- M. Hashimoto, T. Yoshida, H. Yagi, M. Takizawa,
   A. Fujimori, M. Kubota, K. Ono, K. Tanaka,
   D. H. Lu, Z.-X. Shen, S. Ono, and Y. Ando, Phys. Rev. B 77, 094516 (2008).
- 8. W. S. Lee, I. M. Vishik, K. Tanaka, D. H. Lu, T. Sasagawa, N. Nagaosa, T. P. Devereaux, Z. Hussain, and Z.-X. Shen, Nature 450, 81 (2007).
- S. Hufner, M. A. Hossain, A. Damascelli, and G. A. Sawatzky, Rep. Prog. Phys. 71, 062501 (2008).
- 10. F. Ronning, T. Sasagawa, Y. Kohsaka, K. M. Shen, A. Damascelli, C. Kim, T. Yoshida, N. P. Armitage, D. H. Lu, D. L. Feng, L. L. Miller, H. Takagi, and Z.-X. Shen, Phys. Rev. B 67, 165101 (2003).
- 11. B. O. Wells, Z.-X. Shen, A. Matsuura, D. M. King, M. A. Kastner, M. Greven, and R. J. Birgeneau, Phys. Rev. Lett. 74, 964 (1995).
- 12. A. A. Kordyuk, S. V. Borisenko, V. B. Zabolotnyy, R. Schuster, D. S. Inosov, D. V. Evtushinsky, A. I. Plyushchay, R. Follath, A. Varykhalov, L. Patthey, and H. Berger, Phys. Rev. B 79, 020504(R) (2009).
- A. Macridin, M. Jarrell, T. Maier, P. R. C. Kent, and E. D'Azevedo, Phys. Rev. Lett. 97, 036401 (2006).
- A. Sherman, Phys. Rev. B 73, 155105 (2006); Phys. Rev. B 74, 035104 (2006).
- **15**. N. M. Plakida and V. S. Oudovenko,  $\mathbb{X} \ni \mathbb{T} \Phi$  **131**, 259 (2007).

- M. V. Sadovskii, I. A. Nekrasov, E. Z. Kuchinskii, Th. Pruschke, and V. I. Anisimov, Phys. Rev. B 72, 155105 (2005).
- **17**. М. В. Еремин, В. В. Игламов, Письма в ЖЭТФ **87**, 199 (2008).
- O. P. Sushkov, G. A. Zawatzky, R. Eder, and H. Eskes, Phys. Rev. B 56, 11769 (1997).
- N. M. Plakida and V. S. Oudovenko, Phys. Rev. B 59, 11949 (1999).
- P. Prelovšek and A. Ramšak, Phys. Rev. B 65, 174529 (2002).
- P. Prelovšek, I. Sega, and J. Bonča, Phys. Rev. Lett.
   92, 027002 (2004); I. Sega, P. Prelovšek, and J. Bonča, Phys. Rev. B 68, 054524 (2003).
- V. J. Emery, Phys. Rev. Lett. 58, 2794 (1987);
   V. J. Emery and G. Reiter, Phys. Rev. B 38, 4547 (1988).
- **23**. А. Ф. Барабанов, Л. А. Максимов, Г. В. Уймин, ЖЭТФ **96**, 655 (1989).
- 24. A. F. Barabanov, A. A. Kovalev, O. V. Urazaev, and A. M. Belemouk, Phys. Lett. A 265, 221 (2000).
- А. Ф. Барабанов, А. М. Белемук, Письма в ЖЭТФ 87, 725 (2008).
- **26**. А. Ф. Барабанов, А. М. Белемук, ЖЭТФ **138**, 289 (2010).
- B. Keimer, S. A. Kivelson, M. R. Norman, S. Uchida, and J. Zaanen, Nature 518, 179 (2015).
- 28. S. Blanco-Canosa, A. Frano, E. Schierle, J. Porras, T. Loew, M. Minola, M. Bluschke, E. Weschke, B. Keimer, and M. Le Tacon, Phys. Rev. B 90, 054513 (2014).
- **29**. M. Mambrini, A. Läuchli, D. Poilblanc, and F. Mila, Phys. Rev. B **74**, 144422 (2006).
- 30. S. M. Yusuf, A. K. Bera, C. Ritter, Y. Tsujimoto, Y. Ajiro, H. Kageyama, and J. P. Attfield, Phys. Rev. B 84, 064407 (2011).
- **31.** A. V. Mikheyenkov, A. F. Barabanov, and A. V. Shvartsberg, Sol. St. Comm. **152**, 831 (2012).
- A. V. Chubukov, S. Sachdev, and J. Ye, Phys. Rev. B 49, 11919 (1994).
- S. Chakravarty, B. I. Halperin, and D. R. Nelson, Phys. Rev. B 39, 2344 (1989).
- **34**. D. Arovas and A. Auerbach, Phys. Rev. B **38**, 316 (1988).
- 35. P. W. Anderson, Science 235, 1196 (1987).

- G. Baskaran, Z. Zou, and P. W. Anderson, Sol. St. Comm. 63, 973 (1987).
- H. Shimahara and S. Takada, J. Phys. Soc. Jpn. 60, 2394 (1991).
- **38**. А. Ф. Барабанов, В. М. Березовский, ЖЭТФ **106**, 1156 (1994); Phys. Lett. A **186**, 175 (1994); J. Phys. Soc Jpn. **63**, 3974 (1994).
- **39**. A. F. Barabanov and L. A. Maksimov, Phys. Lett. A **207**, 390 (1995).
- **40**. A. V. Mikheenkov, A. F. Barabanov, and N. A. Kozlov, Phys. Lett. A **354**, 320 (2006).
- **41**. A. F. Barabanov, A. V. Mikheenkov, and A. M. Belemuk, Phys. Lett. A **365**, 469 (2007).
- **42**. M. Inui, S. Doniach, and M. Gabay, Phys. Rev. B **38**, 6631 (1988).
- **43**. J. F. Annett, R. M. Martin, A. K. McMahan, and S. Satpathy, Phys. Rev. B **40**, 2620(R) (1989).
- **44.** S. Bacci, E. Gagliano, and F. Nori, Int. J. Mod. Phys. B **5**, 325 (1991).
- A. Moreo, E. Dagotto, T. Jolicoeur, and J. Riera, Phys. Rev. B 42, 6283 (1990).

- **46**. Д. М. Дзебисашвили, В. В. Вальков, А. Ф. Барабанов, Письма в ЖЭТФ **98**, 596 (2013).
- 47. T. Yoshida, X. J. Zhou, D. H. Lu, S. Komiya, Y. Ando, H. Eisaki, T. Kakeshita, S. Uchida, Z. Hussain, and Z.-X. Shen, J. Phys.: Condens. Matter 19, 125209 (2007).
- **48**. А. В. Михеенков, В. Э. Валиулин, А. В. Шварцберг, А. Ф. Барабанов, ЖЭТФ **148**, 514 (2015).
- А. Ф. Барабанов, Е. Жасинас, О. В. Уразаев,
   Л. А. Максимов, Письма в ЖЭТФ 66, 173 (1997).
- **50**. L. A. Maksimov, R. Hayn, and A. F. Barabanov, Phys. Lett. A **238**, 288 (1998).
- **51**. А. Ф. Барабанов, О. В. Уразаев, А. А. Ковалев, Л. А. Максимов, Письма в ЖЭТФ **68**, 386 (1998).
- 52. R. O. Kuzian, R. Hayn, A. F. Barabanov, and L. A. Maksimov, Phys. Rev. B 58, 6194 (1998).
- **53**. А. Ф. Барабанов, А. А. Ковалев, О. В. Уразаев, А. М. Белемук, Р. Хайн, ЖЭТФ **119**, 777 (2001).
- **54**. Д. Н. Зубарев, УФН **71**, 71 (1960).
- **55**. Ю. А. Церковников, ТМФ **49**, 219 (1981).
- **56**. Ю. А. Церковников, ТМФ **50**, 261 (1982).